

## АТМОСФЕРНАЯ ТУРБУЛЕНТНОСТЬ

УДК 551.510:621.371

**В.П. Якубов**

### ДВУКРАТНОЕ МОНОСТАТИЧЕСКОЕ ПРОСВЕЧИВАНИЕ ПОТОКА ТУРБУЛЕНТНЫХ НЕОДНОРОДНОСТЕЙ С ИСПОЛЬЗОВАНИЕМ ДВИЖУЩЕГОСЯ ОТРАЖАТЕЛЯ

Рассматриваются автокорреляционная функция и энергетический спектр флюктуаций фазы и частоты волны при моностатическом двукратном радио или оптическом просвечивании потока турбулентных неоднородностей с использованием движущегося отражателя. Показана возможность восстановления скорости переноса и пространственного распределения интенсивности турбулентностей атмосферы. Даётся обобщение на случай движущегося источника излучения и приводится пример, подтверждающий практическую применимость предлагаемого подхода.

#### Введение

В настоящее время создано множество достаточно надежных методов дистанционного зондирования атмосферных турбулентностей, которые позволяют по вариациям параметров электромагнитных и звуковых волн, прошедших атмосферу, определять скорость переноса, интенсивность и пространственный спектр неоднородностей и т. д. [1, 2]. Существующие методы зондирования неоднородностей сред могут быть условно разделены на две группы. К первой группе относятся методы, основанные на приеме излучения, диффузно или обратно рассеянного неоднородностями среды [2]. Эти методы реализованы в лидарных системах зондирования объемов атмосферных аэрозолей и в станциях некогерентного рассеяния. Ко второй группе относятся методы, связанные с регистрацией излучения после прямого просвечивания неоднородностей. В системах двукратного просвечивания излучение дважды пропускается через среду, например, путем использования зеркальных отражателей на концах трассы [3]. Методы второй группы энергетически более выгодны и могут использоваться на больших дальностях, но требуют специальной организации трасс и размещения на разных концах передатчиков, приемников и отражателей [2]. Использование пространственно разнесенных трасс просвечивания в методах этой группы обеспечивает измерение поперечной скорости потока и пространственной структуры турбулентных неоднородностей среды. Для этого применимы бистатические лидарные и радиолокационные измерения с использованием отражателей. Ветровой снос турбулентностей проявляется в поперечном смещении области наблюдения эффекта усиления обратного рассеяния [2, 3] и области фокусировки обращенного волнового поля [4–6]. Подходящим выбором пространственного разноса точек излучения и приема можно отследить это смещение и тем самым измерить скорость переноса неоднородностей. В моностатической схеме просвечивания это можно достигнуть либо за счет движения локационной системы [6], либо за счет движения отражателя. При этом разнесенные во времени наблюдения оказываются эквивалентными использованию бистатических измерений. Целью данной статьи является анализ временных флюктуаций фазы и частоты в оставшейся пока без должного внимания моностатической схеме с движущимся отражателем и построение на этой основе метода восстановления параметров просвечиваемого потока турбулентностей.

#### Пространственно-временные соотношения при двукратном просвечивании

Рассмотрим схему двукратного просвечивания, изображенную на рис. 1. Сигнал излучается в точке  $A$ , отражается в точке  $B$  от движущегося со скоростью  $V_1$  объекта-отражателя и принимается в исходной точке  $A$ . Угол между направлением движения отражателя и трассой  $AB$  обозначен через  $\alpha$ . Будем считать, что турбулентные неоднородности среды, вызывающие флюктуации фазы, переносятся со скоростью  $V$  параллельно движению отражателя в противоположном направлении и сосредоточены в условном слое, границы которого отмечены на рис. 1 штриховыми линиями.

Волна при своем распространении от источника до отражателя и обратно взаимодействует с неоднородностями среды дважды: при распространении от источника к отражателю и при обратном распространении. Это означает, что любая выделенная неоднородность дважды оказывает воздействие на фазу волны. Вследствие движения отражателя лучевая линия просвечивания непрерывно перемещается навстречу турбулентному потоку и поэтому для дальнейшего удобно перейти к системе

координат, поворачивающейся со скоростью лучевой линии в области турбулентного слоя, величина которой равна

$$u = V_1 H_2 / H, \quad H = H_1 + H_2. \quad (1)$$

Здесь  $H_1$  и  $H_2$  определяют положение отражателя и источника излучения относительно середины турбулентного слоя, отмеченной линией  $DE$  на рис. 1. С переходом к такой системе координат необходимо заменить скорость отражателя  $V_1$  на  $\tilde{V}_1 = V_1 - u$  и скорость потока неоднородностей  $V$  на  $\tilde{V} = V + u$ . В выбранной системе координат выделенная неоднородность вызывает первое возмущение фазы в окрестности точки  $D$  при распространении волны к отражателю. Это возмущение после отражения волны в точке  $B$  будет принято в точке  $A$  через время  $t_1 = t_0 + \Delta t_2$ , где  $t_0 = 2\Delta t_1$ ,  $\Delta t_{1,2} = H_{1,2}/c \sin \alpha$ ,  $c$  — скорость света. Второе возмущение фазы этой же неоднородностью произойдет на луче  $AC$  в окрестности точки  $E$  при распространении волны от отражателя, находящегося в точке  $C$  в некоторый предшествующий момент времени. Полученное вторичное возмущение фазы будет принято в точке  $A$  в момент  $t_2 = \Delta t + \Delta t_2$ , где  $\Delta t = d/\tilde{V}$  — время, необходимое для перемещения неоднородности из точки  $D$  в точку  $E$ . Очевидно, второе возмущение фазы будет принято раньше, чем первое на время

$$\tau_0 = t_1 - t_2 = t_0 - d/\tilde{V}. \quad (2)$$

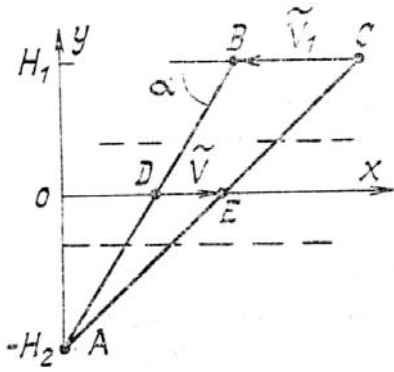


Рис. 1. Схема просвечивания

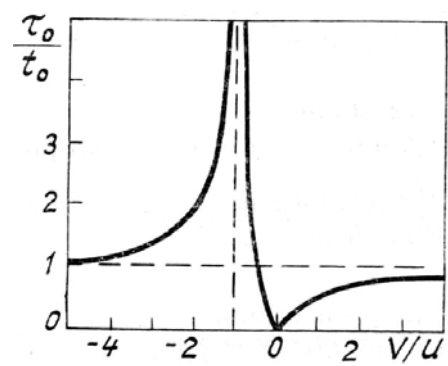


Рис. 2. Зависимость корреляционной задержки от скорости переноса неоднородностей

Величина отрезка  $DE = d$  может быть найдена, если учесть, что время поворота луча из положения  $AC$  в положение  $AB$  равно  $2H/c \sin \alpha$ . Отражатель за это время проходит расстояние  $BC = \tilde{V}_1 2H/c \sin \alpha$ . Из соотношения подобия можно записать  $d = BC \times H_2/H = ut_0$ . Подставляя это значение в (2) с учетом (1), имеем

$$\tau_0 = t_0 \left( 1 - \frac{u}{\tilde{V}} \right) = t_0 V / (V + V_1 H_2 / H). \quad (3)$$

Величина  $\tau_0$  существенным образом влияет на корреляционные свойства флюктуаций фазы и частоты в выбранной схеме просвечивания.

#### Корреляционная функция и энергетический спектр флюктуаций фазы и частоты при двукратном просвечивании

Представим флюктуационную часть  $s(t)$  полной фазы волны в виде аддитивной суммы

$$s(t) = s_1(t) + s_2(t), \quad (4)$$

где  $s_1$  и  $s_2$  — величины фазовых флюктуаций, накопленных при распространении волны к отражателю и от него. В приближении геометрической оптики слагаемые  $s_1$  и  $s_2$  могут быть записаны как (см. рис. 1)

$$s_1(t) = k \int_{-H_2}^{H_1} \frac{dy'}{\sin \alpha} N \left( x' = \frac{H_2 + y'}{\tan \alpha}, y', z' = 0, t' = t - \frac{H + H_2 - y'}{c \sin \alpha} \right),$$

$$s_2(t) = k \int_{-H_2}^{H_1} \frac{dy''}{\sin z} N \left( x'' = \frac{H_2 + y''}{\operatorname{tg} z} + d, y'', z'' = 0, t'' = t - \frac{H_2 + y''}{c \sin z} \right), \quad (5)$$

где  $N(x, y, z, t)$  — флуктуационная часть показателя преломления атмосферы;  $k$  — волновое число. Здесь учтено, что лучи  $AB$  и  $AC$  в слое неоднородностей могут считаться практически параллельными. В рамках гипотезы «замороженности», полагая турбулентности локально статистически однородными, можно записать

$$\begin{aligned} < N(x', y', z, t') N(x'', y'', z, t'') > = \sigma^2 \left( \frac{y' + y''}{2} \right) \times \\ & \times \int_{-\infty}^{+\infty} dz_x dz_y \Phi(z_x z_y) \exp(i z_x (x' - x'' - \tilde{V}(t' - t'')) + i z_y (y' - y'')). \end{aligned} \quad (6)$$

Здесь  $\sigma^2(y)$  — изменяющаяся от координаты  $y$  дисперсия и  $\Phi(\kappa_x, \kappa_y) = \Phi(\sqrt{\kappa_x^2 + \kappa_y^2})$  — нормированный пространственный спектр флуктуаций показателя преломления  $N$ .

В результате усреднения по ансамблю реализаций для автокорреляционной функции флуктуаций фазы (4) можно записать:

$$B_s(\tau) = < s(t) s(t+\tau) > = 2B_0(\tau) + B_1(\tau - \tau_0) + B_1(\tau + \tau_0). \quad (7)$$

Здесь слагаемые

$$B_0(\tau) = < s_1(t) s_1(t+\tau) > = < s_2(t) s_2(t+\tau) >$$

и

$$B_1(\tau) = < s_1(t) s_2(t+\tau) >$$

представляют собой соответственно автокорреляционную функцию флуктуаций при однократном просвечивании и кросскорреляционную функцию флуктуаций фазы при распространении волны к отражателю и от него. Эти функции соотношением Винера — Хинчина связаны с соответствующими энергетическими спектрами  $W_0(\omega)$  и  $W_1(\omega)$ , которые с учетом (5) и (6) записываются как

$$\begin{aligned} W_0(\omega) &= \frac{2\pi k^2}{\sin^2 \alpha \tilde{V}} \Phi \left( \frac{\omega}{\tilde{V} \sin \alpha} \right) q(0); \\ W_1(\omega) &= W_0(\omega) Q \left( z = \frac{2\omega}{c \sin \alpha} \right) e^{i\omega\tau_0}, \end{aligned} \quad (8)$$

где

$$q(z) = \int_{-H_2}^{H_1} e^{-izy} \sigma^2(y) dy, \quad Q(z) = q(z)/q(0), \quad (9)$$

и величина задержки  $\tau_0$  определена в (3). В соответствии с (7) и (8) энергетическим спектром флуктуаций полной фазы является выражение

$$W_s(\omega) = \int_{-\infty}^{+\infty} e^{i\omega\tau} B_s(\tau) d\tau = 2W_0(\omega) \left[ 1 + Q \left( \frac{2\omega}{c \sin \alpha} \right) \cos \omega\tau_0 \right]. \quad (10)$$

Сразу заметим, что хотя это выражение получено здесь в геометрооптическом приближении, оно сохраняет силу в более общем случае. Достаточно лишь заменить в (10) функцию  $W_0(\omega)$  на соответствующее выражение для спектра флуктуаций фазы при однократном просвечивании турбулентной среды в приближении метода плавных возмущений [1—3].

Из (7) следует, что автокорреляционная функция фазы  $B_s(\tau)$  имеет один центральный максимум при  $\tau = 0$  и два симметричных побочных максимума при  $\tau = \pm\tau_0$ . Знак  $\tau_0$  может меняться, но из-за симметрии (7) принципиального значения не имеет. Поэтому под  $\tau_0$  везде далее будем понимать ее

модуль. Согласно (3) величина  $\tau_0$  существенно зависит от скорости переноса неоднородностей  $V$  и от скорости движения лучевой линии  $u$  в области турбулентного слоя. Как видно из рис. 2, где зависимость  $\tau_0$  от  $V$  изображена в нормированном виде, можно указать диапазон скоростей  $V$  от  $-4u$  до  $2u$ , в пределах которого значения скорости турбулентного потока могут быть восстановлены с достаточной точностью по измеренной задержке  $\tau_0$ . Заметим, что при приближительном совпадении векторов скорости переноса неоднородностей и скорости движения лучевой линии ( $V \rightarrow u$ ) существует особенность ( $\tau_0 \rightarrow \infty$ ) и для определения скорости  $V$  в этом случае требуются достаточно длинные записи флюктуаций фазы.

Величина  $\tau_0$  и скорость  $V$  переноса неоднородностей могут быть найдены и по энергетическому спектру флюктуаций фазы (10), где  $\tau_0$  определяет характерный период интерференционных осцилляций  $F_0 = 1/\tau_0$ . Амплитуда максимумов и минимумов в энергетическом спектре  $W_s(\omega)$ , положение которых определяется из условий  $\omega\tau_0 = \pi(2n-1)$  и  $\omega\tau_0 = 2\pi/n$ ,  $n = 1, 2, 3, \dots$ , постепенно уменьшается с убыванием множителя  $Q(2\omega/csina)$ . Чем толще слой турбулентностей, тем быстрее убывает этот множитель с увеличением частоты  $\omega$ . В этом смысле множитель  $Q$  описывает усредняющее действие конечной толщины турбулентного слоя на спектр флюктуаций фазы при двукратном просвечивании. Согласно (9) функция  $Q(k)$  представляет собой нормированный пространственный спектр зависимости  $\sigma^2(y)$ . Измерения  $Q(k)$  после обращения интегрального преобразования (9) дадут информацию о пространственном изменении дисперсии флюктуаций показателя преломления  $\sigma^2(y)$ .

Все сказанное выше относилось к флюктуациям  $s$ , но легко обобщается для описания флюктуаций частоты  $F = (2\pi)^{-1}ds/dt$ . Для получения автокорреляционной функции  $B_F(\tau)$  и энергетического спектра  $W_F(\omega)$  флюктуаций частоты достаточно учесть, что

$$B_F(\tau) = \frac{-1}{(2\pi)^2} \frac{d^2}{d\tau^2} B_s(\tau), \quad W_F(\omega) = \left(\frac{\omega}{2\pi}\right)^2 W_s(\omega).$$

Проведенный анализ получаемых при этом результатов позволяет перенести все сформулированные ранее выводы для флюктуаций частоты при двукратном просвечивании.

#### Двукратное просвечивание в случае движущегося источника излучения

Полученное решение задачи может быть обобщено на случай движущегося со скоростью  $V_A$  источника излучения. Для этого достаточно перейти в систему координат, движущуюся с источником излучения, и воспользоваться полученными ранее формулами, в которых необходимо заменить  $V_1$  на  $V'_1 = V_1 + V_A$  и  $V$  на  $V' = V - V_A$ . При этом имеем

$$\tilde{V} = V + V_1 \frac{H_2}{H} - V_A \frac{H_1}{H}; \quad (11)$$

$$\tau_0 = t_0(V - V_A) / \left( V + V_1 \frac{H_2}{H} - V_A \frac{H_1}{H} \right). \quad (12)$$

Из формул (11), (12), являющихся достаточно общими, следует еще один важный частный случай, когда отражатель неподвижен ( $V_1 = 0$ ). При  $V_1 = 0$  можно записать

$$\tilde{V} = V - V_A \frac{H_1}{H}, \quad \tau_0 = t_0(V - V_A) / \left( V - V_A \frac{H_1}{H} \right).$$

Выражения для корреляции и энергетического спектра фазы и частоты сохраняют свою форму. Этот случай просвечивания может быть реализован при установке радио или оптического локационного устройства на движущуюся платформу наземного или воздушного базирования, например, на самолете.

В заключение этого раздела рассмотрим пример, подтверждающий практическую применимость предлагаемой методики, когда было проведено двукратное радиопросвечивание турбулентных неоднородностей солнечного ветра [7]. Монохроматический сигнал дециметрового диапазона радиоволн излучался с Земли, принимался на борту аппарата «Венера-15» и ретранслировался с сохранением когерентности фазы назад на Землю. Далее сигнал принимался в исходном наземном пункте. На рис. 3 представлен результат измерения  $K_F$  — коэффициента автокорреляции флюктуаций частоты при использовании скользящего 30-секундного усреднения, когда трасса просвечивания проходила вблизи от Солнца на прицельном расстоянии в 4,9 его радиуса. Наряду с центральным максимумом при  $\tau = 0$  наблюдается отчетливый побочный максимум при  $\tau = \tau_0 = 220$  с. Вертикальным отрезком отмечен 90%-й доверительный интервал для  $K_F(\tau)$  вблизи  $\tau = \tau_0$ . Найденное значение  $\tau_0$  согласно (12) соответствует скорости солнечного ветра  $V = 46$  км/с. Это хорошо согласуется с известными значе-

ниями  $V$  для этой области околосолнечного пространства [7]. На рис. 4 представлен фрагмент нормированного энергетического спектра флуктуаций частоты, рассчитанного с помощью преобразования Фурье и соответствующего корреляционной функции, изображенной на рис. 3. Здесь по оси абсцисс отложена циклическая спектральная частота  $f = \omega/2\pi$ . Видно, что на частотах  $f_1 = 7,0 \cdot 10^{-3}$  Гц и  $f_2 = 11,5 \cdot 10^{-3}$  Гц наблюдаются отчетливые минимумы, положение которых  $f_1 = 3/2\tau_0$ ,  $f_2 = 5/2\tau_0$  и период следования  $F_0 = f_2 - f_1 = 1/\tau_0$  подтверждают правильность оценок  $\tau_0 = 220$  с и  $V = 46$  км/с. Возможная погрешность оценки  $\tau_0$  в  $\pm 30$  с дает ошибку определения  $V$  всего лишь в  $\pm 3$  км/с. Огибающая спектра может быть использована для нахождения  $Q(\kappa)$  и тем самым для восстановления пространственной зависимости интенсивности флуктуаций показателя преломления.

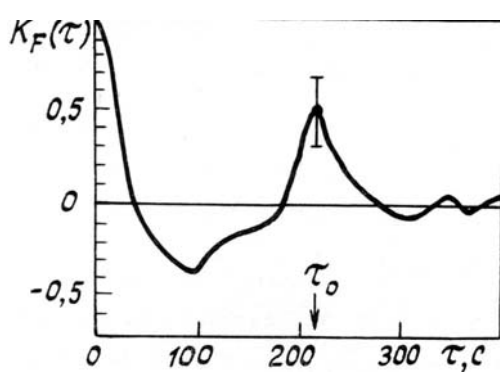


Рис. 3. Экспериментальный коэффициент автокорреляции флуктуаций частоты

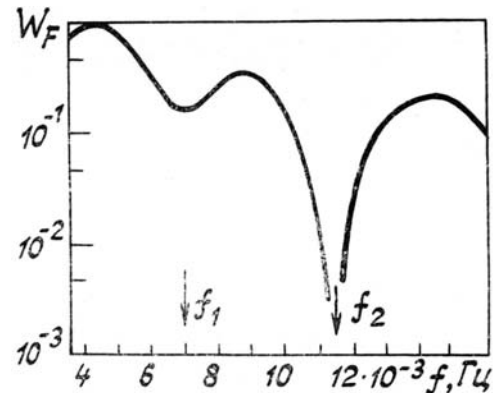


Рис. 4. Нормированный энергетический спектр флуктуаций частоты

## Заключение

В результате проведенного анализа показано, что моностatische двукратное просвечивание потока турбулентностей с движущимся отражателем эквивалентно использованию просвечивания с пространственным разносом и может быть использовано для измерения скорости и пространственного распределения интенсивности неоднородностей атмосферы. Применимость предлагаемого подхода к зондированию неоднородных сред большой протяженности подтверждена экспериментом. Рассмотренный метод может быть использован для зондирования нижней и верхней атмосферы Земли, межпланетного и околосолнечного пространства в радио и оптическом диапазонах.

1. Татарский В. И. Распространение волн в турбулентной атмосфере. М.: Наука, 1967. 548 с.
2. Зуев В. Е., Банах В. А., Покасов В. В. Оптика турбулентной атмосферы. Л.: Гидрометеоиздат, 1988. 270 с.
3. Кравцов Ю. А., Саичев А. И. //УФН. 1982. Т. 137. Вып. 3. С. 501–527.
4. Малахов А. Н., Саичев А. И. //Изв. вузов СССР. Сер. Радиофизика. 1981. Т. 24. № 11. С. 1356–1361.
5. Ахунов Х. Г., Бункин Ф. В., Власов Д. В., Кравцов Ю. А. //Квантовая электроника. 1982. Т. 9. № 6. С. 1287–1289.
6. Ахунов Х. Г., Бункин Ф. В., Власов Д. В., Кравцов Ю. А. //Радиотехника и электроника. 1984. Т. 29. Вып. 1. С. 1–4.
7. Яковлев О. И., Ефимов А. И., Якубов В. П. и др. //Изв. вузов СССР. Сер. Радиофизика. 1989. Т. 32. № 5. С. 531–537.

Сибирский физико-технический институт  
при Томском госуниверситете

Поступила в редакцию  
11 марта 1990 г.

**V. P. Y a k u b o v . Two-Way Monostatic Sensing of the Stream of Turbulent Disturbances with the Help of Moving Reflector.**

Autocorrelation functions and power spectrum of phase and frequency fluctuations of the wave in a monostatic radio or optical sensing of the stream of turbulent disturbances with the help of moving reflector are described. A possibility of reconstructing the transportation velocity and spatial distribution of atmospheric turbulence intensity is shown. A generalization with a moving wave transmitter, and an example of practical implication of suggested method are represented.